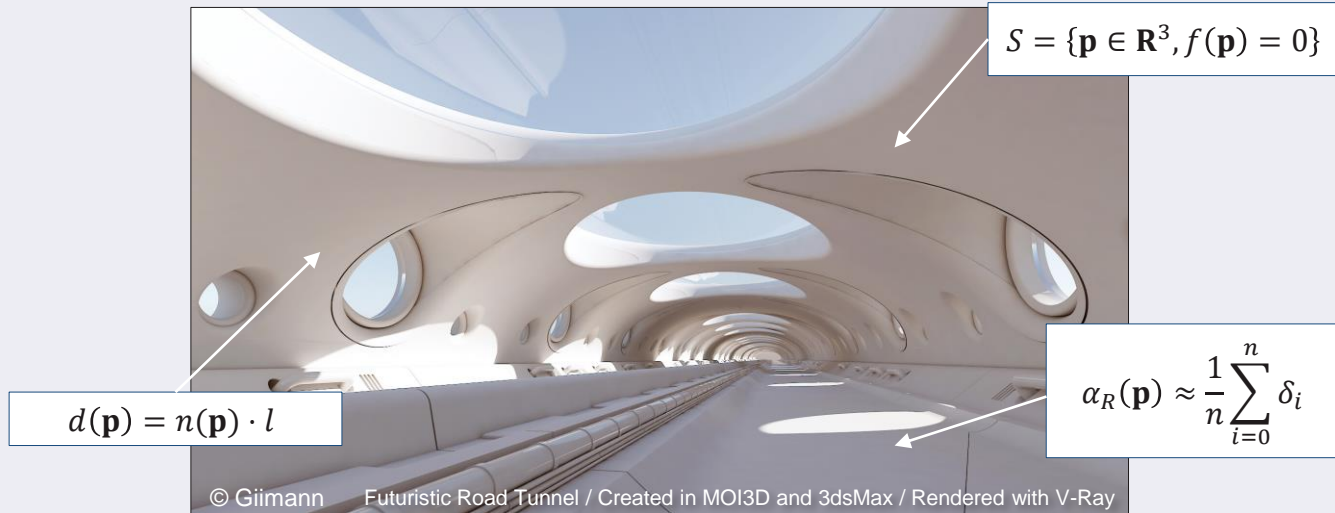


Computer Graphics

From mathematics ...



... to the screen

E. Galin
Université Lyon 1

Computer Graphics

Overview

Deformations

Curves

Surfaces

Introduction

Model specific

Global deformations

Local deformations

Conclusion

Types de déformations

Déformations liées au modèle ou libres, locales ou globales

Transformation directe $\omega: \mathbf{R}^3 \rightarrow \mathbf{R}^3$ pour les maillages

Inverse ω^{-1} pour les surfaces implicites



Déformation des normales

Transformées avec l'inverse du Jacobien transposé

$$\tilde{\mathbf{n}} = (\mathbf{J}_\omega^{-1})^t \mathbf{n}$$

$$\mathbf{J}_\omega = (\partial \omega_i / \partial x_j)$$

Démonstration : $\mathbf{A}^{-1} = \mathbf{A}^* / \det \mathbf{A}$
 et $\mathbf{A} \mathbf{u} \times \mathbf{A} \mathbf{v} = \mathbf{A}^* \mathbf{u} \times \mathbf{v}$

Co matrice (arrow pointing to \mathbf{A}^*)

Approximation (arrow pointing to the denominator of the Jacobian approximation)

Termes $\mathbf{J}_{\omega_{ij}}$ (arrow pointing to the partial derivatives in the Jacobian approximation)

$$\mathbf{J}_\omega \approx \left(\omega_i(\dots, x_j + \varepsilon, \dots) - \omega_i(\dots, x_j - \varepsilon, \dots) \right) / 2\varepsilon$$



eric.galin@liris.cnrs.fr
<http://liris.cnrs.fr/~egalin>

Computer Graphics

Model based deformations

Déplacement de sommets d'un maillage

Introduction

Model specific

Global deformations

Local deformations

Conclusion

Algorithme

Soit un sommet \mathbf{v} et son déplacement $\delta\mathbf{v}$

Déplacer les voisins \mathbf{p} de \mathbf{v} selon une fonction $\delta\mathbf{v} \cdot f(\mathbf{p}, \mathbf{v})$

$$f(\mathbf{p}, \mathbf{v}) = g \circ d(\mathbf{p}, \mathbf{v})$$

Distance géodésique

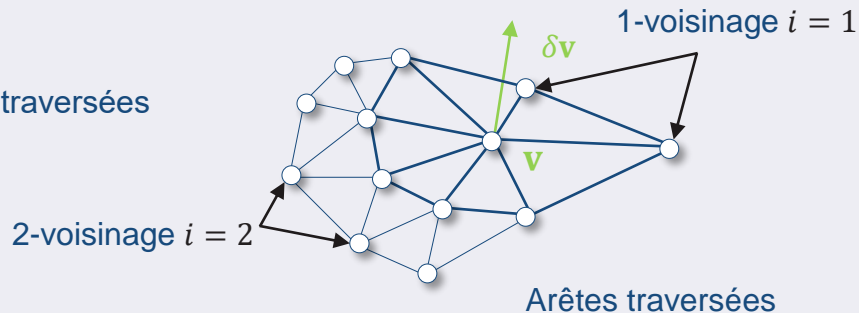
Distance topologique entre \mathbf{v} et \mathbf{p}

Distance Euclidienne $d(\mathbf{p}, \mathbf{v}) = |\mathbf{p} - \mathbf{v}|$

Distance topologique

$d(\mathbf{p}, \mathbf{v})$ est fonction du nombre d'arêtes traversées

Voisinage topologique de \mathbf{v}



$$f(i) = \left(1 - \frac{i}{n+1}\right)^k$$

Nombre d'arêtes maximal



eric.galin@liris.cnrs.fr

http://liris.cnrs.fr/~egalin

Computer Graphics

Global deformations

Transformations affines

Introduction

Model specific

Global Deformations

Local Deformations

Conclusion

Fondamentaux

Rotation, homothétie, translation sont des déformations globales particulières
Inversibles : faciles en mettre en œuvre dans le cadre des surfaces implicites

$$\omega(\mathbf{p}) = \mathbf{M} \mathbf{p} + \mathbf{t}$$

Rotation et homothétie

Translation

Remarques

Volume constant lorsque $|\mathbf{J}_\omega| = 1$

Pour les rotations on a simplement $\tilde{\mathbf{n}} = \mathbf{R} \mathbf{n}$

Pour les homothéties, \mathbf{M} est diagonale et $\tilde{\mathbf{n}} = \mathbf{M}^{-1} \mathbf{n}$

Pour une rotation, \mathbf{R} est orthogonale
donc $\mathbf{R}^{-1} = \mathbf{R}^t$ donc $(\mathbf{R}^{-1})^t = \mathbf{R}$

Trivial, $\mathbf{M}^{-1} = \text{diag}(1/\mathbf{M}_k)$



eric.galin@liris.cnrs.fr
<http://liris.cnrs.fr/~egalin>

A. H. Barr. Global and Local Deformations of Solid Primitives. *Computer Graphics* (Siggraph Proceedings), 8, 21–30, 1984.

Déformations analytiques

Introduction

Model specific

Global Deformations

Local Deformations

Conclusion

Transformations globales

Déformation de l'espace dont on connaît l'expression mathématique [Barr 1984]

Torsion hélicoïdale

Déformation en hélice autour d'un axe $\omega(\mathbf{p}) = R_z(\alpha(\mathbf{p})) \mathbf{p}$

$$\omega(\mathbf{p}) = \begin{pmatrix} x \cos \alpha - y \sin \alpha \\ x \sin \alpha + y \cos \alpha \\ z \end{pmatrix} \quad \alpha = \cos\left(\frac{2\pi}{T} z\right)$$



Ecrasement longitudinal

Déformation radiale de facteur $\rho(z)$

$$\omega(\mathbf{p}) = \begin{pmatrix} x \rho(z) \\ y \rho(z) \\ z \end{pmatrix}$$

$$J_\omega(\mathbf{p}) = \begin{pmatrix} \rho(z) & 0 & x\rho'(z) \\ 0 & \rho(z) & y\rho'(z) \\ 0 & 0 & 1 \end{pmatrix}$$

$$J_\omega^{-1}(\mathbf{p}) = \begin{pmatrix} 0 & 0 & 1 \\ 0 & 1 & \frac{y\rho'(z)}{\rho(z)-1} \\ 1 & 0 & \frac{x\rho'(z)}{\rho(z)-1} \end{pmatrix}$$



A. H. Barr. Global and Local Deformations of Solid Primitives. *Computer Graphics* (Siggraph Proceedings), 8, 21–30, 1984.



eric.galin@liris.cnrs.fr
<http://liris.cnrs.fr/~egalin>

Déformations axiales

Introduction

Model specific

Global Deformations

Local Deformations

Conclusion

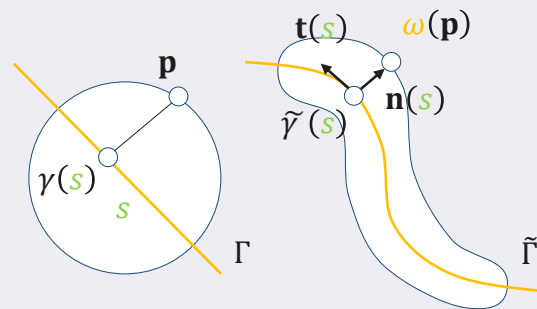
Transformations le long d'une courbe

Déformation de l'espace autour d'une courbe de contrôle [Lazarus 1994]

$$\omega(\mathbf{p}) = \tilde{\gamma}(s) + u \mathbf{n}(s) + v \mathbf{b}(s)$$

Paramètre s de γ de la projection de \mathbf{p} sur Γ

Normale et bi normale



Extensions

Paramètres de torsion ou d'écrasement le long de $\tilde{\Gamma}$

Matrice de rotation selon la tangente

$$\omega(\mathbf{p}) = \tilde{\gamma}(s) + \rho(s) \mathbf{R}(t(s), \theta(s)) (u \mathbf{n}(s) + v \mathbf{b}(s))$$

Ecrasement

Angle de rotation



eric.galin@liris.cnrs.fr

http://liris.cnrs.fr/~egalain

F. Lazarus, S. Coquillart and P. Jancène. Axial deformations: an intuitive deformation technique, *Computer-Aided Design*, 26 (8), 1994

Computer Graphics

Local deformations

Déformations locales

Introduction

Model specific

Global Deformations

Local Deformations

Conclusion

Construction

Déformation (globale) δ combinée à une fonction d'atténuation g à support compact

$$\omega(\mathbf{p}) = \mathbf{p} + g(\mathbf{p}) \delta(\mathbf{p})$$

Fonction à support compact

Déformation globale

Etirement atténué sur une région sphérique

$$\delta(\mathbf{p}) = \mathbf{t}$$

Translation constante

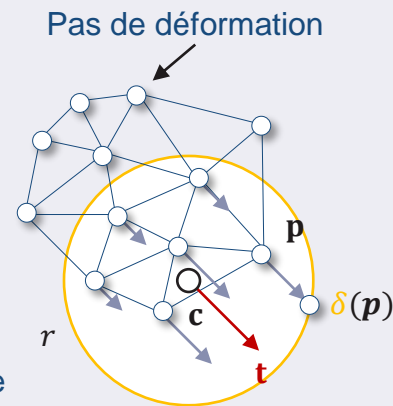
$$g(\mathbf{p}) = s \circ d(\mathbf{p}, \mathbf{c})$$

$$s(d) = (1 - d^2)^2$$

Atténuation [Wyvill1999]

$$d(\mathbf{p}) = |\mathbf{p} - \mathbf{c}|$$

Distance Euclidienne



Généralisation à toute fonction à support compact



eric.galin@liris.cnrs.fr
http://liris.cnrs.fr/~egalin

F Lazarus, S Coquillart, P Jancène. Axial deformations: an intuitive deformation technique, *Computer-Aided Design*, **26** (8), 1994
B. Wyvill, A. Guy, E. Galin. Extending the CSG-Tree. *Computer Graphics Forum*. **18** (4), 149 – 158, 1999

Déformations de Formes Libres

Introduction

Model specific

Global Deformations

Local Deformations

Conclusion

Caractérisation

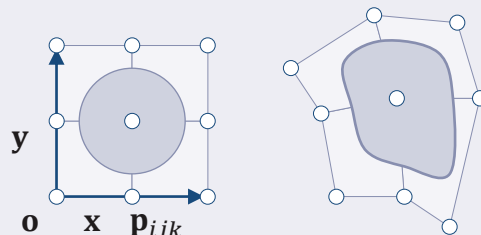
Déformation dans l'espace $\omega: \mathbf{R}^3 \rightarrow \mathbf{R}^3$ par déplacement des points de contrôle sur une boîte

$$\mathbf{p}_{ijk} = \mathbf{p}_0 + \frac{i}{n}\mathbf{x} + \frac{j}{n}\mathbf{y} + \frac{k}{n}\mathbf{z}$$

$$\mathbf{u} = (\mathbf{p}_{ijk} - \mathbf{o}) \cdot \hat{\mathbf{x}}$$

$$\mathbf{q}(u, v, w) = \sum_{i=0}^n \sum_{j=0}^n \sum_{k=0}^n B_i^n(u) B_j^n(v) B_k^n(w) \mathbf{p}_{ijk}$$

$$B_i^n(u) = C_n^i u^i (1-u)^{n-i}$$



Propriétés

Déformations globales et locales

Déformation à l'intérieur de l'espace défini par les points de contrôle

Extensions

Grilles non parallélépipédiques [Coquillart 1990]



T. Sederberg, S. Parry. Free-form deformation of solid geometric models. *Computer Graphics* (Siggraph), **20**, 151–160, 1986.

S. Coquillart. Extended free-form deformation : A sculpturing tool for 3D geometric modeling. *Computer Graphics* (Siggraph), **24**, 187–196, 1990.



eric.galin@liris.cnrs.fr
<http://liris.cnrs.fr/~egalin>

Déformations multiples

Introduction

Model specific

Global Deformations

Local Deformations

Conclusion

Définition

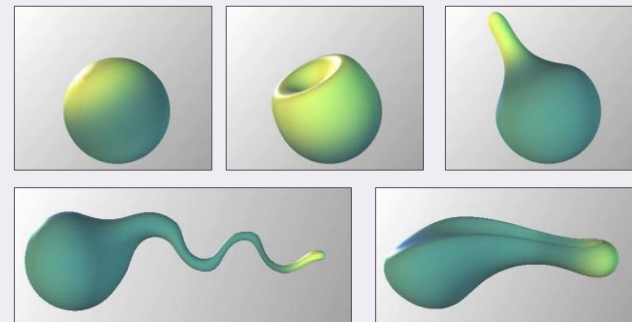
L'objet est créé en déformant progressivement une surface S_0

Composition de n déformations de l'espace $\omega = \omega_{n-1} \circ \dots \circ \omega_0$

$$\omega_k(\mathbf{p}) = e^{f(\mathbf{p}) \ln \mathbf{M}}$$

$f(\mathbf{p}) = g \circ d(\mathbf{p})$ Matrice de transformation

Fonction d'atténuation



eric.galin@liris.cnrs.fr
<http://liris.cnrs.fr/~egalin>

A. Angelidis, M.-P. Cani, G. Wyvill, S. King. Swirling-Sweepers: Constant Volume Modeling, *Graphical Models* **68** (4), 324-332, 2006.

Computer Graphics

Character animation

Squelettes de déformation

Introduction

Model specific

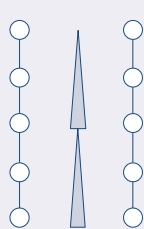
Global deformations

Local deformations

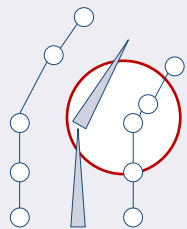
Conclusion

Skinning et rigging

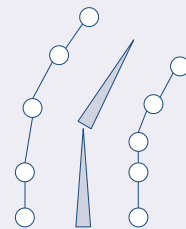
Les sommets du maillage sont attachés aux éléments du squelette d'animation



Lien direct



Pondération



$$\omega(\mathbf{p}) = \sum_{i=0}^{i=n} \alpha_i \mathbf{M}_i \mathbf{p}$$

Poids Matrice locale

En bougeant les point de contrôle du squelette, le maillage suit la déformation



© Floriane Caserio